

ОБОБЩЕНИЕ ОПЫТНЫХ ДАННЫХ ПО ГИДРАВЛИЧЕСКОМУ СОПРОТИВЛЕНИЮ ПРИ ПОВЕРХНОСТНОМ КИПЕНИИ

А. П. Орнатский (Киев)

Изучению закономерностей гидравлического сопротивления в условиях поверхностного кипения посвящен ряд работ (см., например, [1-7]).

Ниже излагается некоторый метод обобщения опытных данных для области больших недогревов (более 40 — 50° С).

Рассмотрим зависимости температуры стенки t_+ и гидравлического сопротивления канала Δp от величины удельного теплового потока q при постоянных значениях; весовой скорости γw , среднего недогрева по длине канала Δt и давления p , приведенные на фиг. 1. На этих кривых можно выделить следующие области.

1. Область неизотермического движения без парообразования в пристенном слое, где температура стенки t_+ меньше температуры насыщения t_- (участок 1—2). В этой области с увеличением q происходит рост t_+ и уменьшается Δp .

2. Переходная область — участок 2—3. В точке 2 имеем $t_+ = t_-$. Величина теплового потока, соответствующая этой точке, обозначена q' . При увеличении теплового потока в некотором интервале его изменения имеет место рост температуры стенки с прежней интенсивностью — участок 2—3. Когда перегрев стенки достигает определенной величины, в пристенном слое начинается процесс парообразования — точка 3.

При дальнейшем увеличении теплового потока число действующих центров парообразования возрастает, в связи с чем гидродинамическая установка в пристенном слое жидкости постепенно изменяется. Эта область характерна постепенным снижением темпа роста t_+ с увеличением q и переходом от снижения Δp к его увеличению. Заканчивается она в некоторой точке 5.

3. Область развитого поверхностного кипения — участок 5—6. Начинается в точке 5 и заканчивается в точке 6, когда наступает так называемый кризис теплообмена. Эта область характерна очень малым изменением температуры стенки t_+ и значительным ростом гидравлического сопротивления Δp с увеличением q .

Как было указано, концом последней области является точка возникновения кризиса кипения.

В работах [1, 3] в качестве начала области поверхностного кипения принята точка 4, в которой пересекаются продолжения линий 1—2 и 5—6, построенные по опытным данным. Такой метод едва ли можно считать целесообразным. Точка 4 лежит в переходной области. Если принять ее за начальную точку, то при исследовании в обработку будут включаться данные, полученные на участке 4—5, что может исказить закономерности, присущие области развитого поверхностного кипения.

То же будет, если принять в качестве начала точку 3. Определение точки 3 экспериментальным путем очень сложно, так как требует проведения визуального определения числа действующих центров парообразования [8].

Правильно было бы брать в качестве начала области поверхностного кипения точку 5. Однако для определения ее параметров нет нужных соотношений из-за недостаточной изученности теплообмена в переходной области 2—5.

Поэтому представляется целесообразным применение следующего метода определения точки 5.

Начало переходной области — точка 1 — может достаточно точно определяться из условий $t_+ = t_-$. Через точку 7 на кривой $\Delta p = f(q)$ проводится горизонтальная линия до пересечения с продолжением этой кривой. Полученная точка 8 принимается за начало области развитого поверхностного кипения. По своему положению эта точка близка к точке 5. Тепловой поток, соответствующий точке 8, обозначим

$$q_0 = q' + \Delta q \quad (1)$$

Здесь q' — тепловой поток при $t_+ = t_-$, Δq — изменение величины теплового потока между точками 7 и 8. В опытах Δq может определяться из графика $\Delta p = f(q)$ как величина отрезка 7—8, а для расчетов должна даваться зависимость

$$\Delta q = f(\gamma W, \Delta t, p) \quad (2)$$

Гидравлическое сопротивление канала при поверхностном кипении Δp представим в виде

$$\Delta p = \Delta p' + \Delta p'' \quad (3)$$

Здесь гидравлическое сопротивление канала $\Delta p'$ в точке 8 (по условию ее определения равно сопротивлению в точке 2) может быть найдено из соотношений, известных для области 1—2, исходя из условия $t_+ = t_-$; величина $\Delta p''$ — прирост гидравлического сопротивления Δp , обусловленный поверхностным кипением. Прирост гидравлического сопротивления канала $\Delta p''$ обусловлен процессом парообразования в пристенном слое и вызывается следующими причинами.

(а) Возникновение, рост и последующая конденсация паровых пузырей повышают интенсивность массообмена между пристенным слоем и ядром потока, что должно приводить к росту гидравлического сопротивления вследствие изменения количества движения в потоке. Массообмен между пристенным слоем и ядром потока будет расти с увеличением числа действующих центров парообразования z , частоты образования пузырей u и среднего диаметра пузырей d .

(б) До начала движения пузыря по поверхности нагрева его воздействие на поток будет в определенной мере тождественно воздействию выступа шероховатости, т. е. наличие паровых пузырей в пристенном слое создает «паровую шероховатость», что тоже может вызывать увеличение гидравлического сопротивления. Это предположение, высказанное Тзяном, приводится в работе [9].

Размер выступов «паровой шероховатости» может характеризоваться средним значением наибольшего диаметра d пузыря. Число одновременно существующих выступов паровой шероховатости будет пропорционально z и u .

(в) Скользящий по поверхности нагрева пузырь до момента его отрыва движется со скоростью, меньшей скорости омывающей жидкости. Это вызывает дополнительные гидродинамические возмущения в потоке и может быть причиной увеличения гидравлического сопротивления. Эта составляющая будет зависеть от величины адгезии жидкости — твердое тело, которая является функцией поверхностного натяжения σ , и краевого угла θ [10].

(г) Величина гидравлического сопротивления при поверхностном кипении зависит от потери энергии на ускорение потока. Последнее вызывается двумя причинами. При малых недогревах паровой пузырь не будет конденсироваться в пристенном слое жидкости, а, оторвавшись от поверхности, уйдет в ядро потока и будет существовать там некоторый период времени, что вызовет потерю на ускорение потока вследствие того, что $\gamma'' < \gamma'$. Потеря энергии на ускорение среды может также возникать из-за увеличения средней скорости благодаря «загромождению» сечения паровыми пузырями.

Этот фактор, вероятно, оказывает заметное влияние на гидравлическое сопротивление лишь в каналах малых сечений.

На основании указанных выше возможных причин роста гидравлического сопротивления при поверхностном кипении можно полагать, что прирост гидравлического сопротивления в области поверхностного кипения $\Delta p''$ должен существенно зависеть от величины $q'' = q - q_0$, представляющей прирост теплового потока в области поверхностного кипения. Тогда основными режимными параметрами, определяющими притечении заданной жидкости величину $\Delta p''$, являются тепловой поток q'' , весовая скорость γ_w , давление в канале p , недогрев ядра потока Δt и диаметр канала d .

Для выяснения степени влияния указанных параметров были проанализированы опытные данные, опубликованные в работах [1-7], и установлено следующее.

1. По данным работы [2], при постоянных значениях γW , p и Δt величина $\Delta p''$ увеличивается с ростом q . При этом физические константы жидкости в ядре потока неизменны, а в пристенном слое меняются очень мало.

2. По данным той же работы величина $\Delta p''$ при p и $\Delta t = \text{const}$ и равных значениях q'' тем больше, чем выше весовая скорость γW .

3. Прирост гидравлического сопротивления $\Delta p''$ при равных значениях γW и Δt практически не зависит от давления [5] в диапазоне его изменения от 10 до 150—175 ата.

При изменении давления и постоянстве недогрева изменяются температуры ядра потока и пристенного слоя, что обусловливает изменение физических свойств жидкости и пара. Как показывает опыт, это обстоятельство не оказывает заметного влияния на Δp и $\Delta p''$. Поэтому можно полагать, что гидродинамические возмущения, вызываемые «паровой шероховатостью» и скольжением паровых пузырей по поверхности, которые меняются с изменением давления, не оказывают заметного влияния на гидравлическое сопротивление в условиях поверхностного кипения. То же можно сказать и о потере, обусловленной ускорением потока. Таким образом, при $p = \text{var}$, а γW и $\Delta t = \text{const}$ прирост сопротивления $\Delta p''$ обусловлен только изменением q'' .

4. Прирост гидравлического сопротивления $\Delta p''$ при равных значениях p , γW и q'' тем больше [2], чем меньше недогрев Δt . Поэтому в число величин, определяющих $\Delta p''$, следует включить калорическую характеристику жидкости c — теплоемкость единицы массы.

5. С целью выяснения влияния диаметра трубы d на величину $\Delta p''$ были проведены специальные опыты на трубках диаметром $d = 1.0, 1.5, 2.0, 3.0, 4.0$ и 5.0 мм с отношением $l/d = 23$ и 24 при давлениях $p = 25-50$ ата, средних недогревах $\Delta t = 50, 100$ и весовой скорости $\gamma W = 10 \cdot 10^3$ кг / м² сек. Результаты опытов показали, что $\Delta p''/l$ уменьшается с увеличением диаметра трубы d от 1 до 5 мм.

Так как «паровая шероховатость» не оказывает заметного влияния на $\Delta p''$, то увеличение последнего с уменьшением диаметра трубы d происходит, по-видимому, за счет увеличения отношения периметра к площади сечения, что повышает величину массы жидкости на единицу площади сечения, перемещаемую пузырями из пристенного слоя в ядро потока.

Проведенный анализ позволяет сделать вывод, что основной причиной, вызывающей рост гидравлического сопротивления при поверхностном кипении при недогревах более 50° С, является перенос массы жидкости из пристенного слоя в ядро потока, вызванный процессом парообразования, и обусловленное этим изменение количества движения в потоке.

При этом практически

$$\frac{\Delta p''}{l} = f(q'', W, \Delta t, c, d) \quad (4)$$

Из указанных пяти величин формально может быть образован один безразмерный комплекс вида

$$K'' = \frac{\Delta p'' c \Delta t d}{q'' W l} \quad (5)$$

Таким образом, при условии несущественного влияния других факторов рассматриваемый процесс определяется зависимостью

$$K'' = \text{const} \quad (6)$$

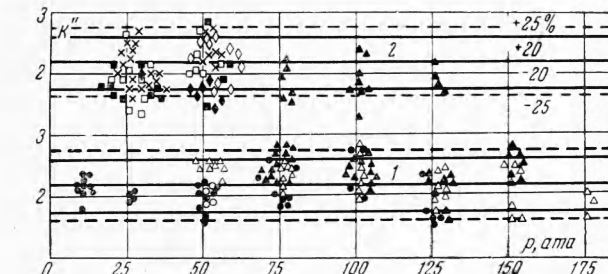
Обработка измерений производилась с применением комплекса (5).

По оси ординат откладывался безразмерный комплекс K'' , а по оси абсцисс — величина давления. Теплоемкость c в выражении (5) бралась при температуре, равной $\frac{1}{2}(t_- + t)$, где t — температура ядра потока.

Так как зависимость Δq от W , Δt и p еще не установлена [2], а результаты значительной части опытов не позволяли с достаточной точностью определить эту величину путем построения графиков $\Delta p = f(q)$ и $t_+ = f(q)$, определение величины q'' при обобщении опытных данных производилось из выражения

$$q'' = q - q_- \quad (7)$$

Опытные данные при значениях $q'' < (2 \div 3) \cdot 10^6$ ккал / m^2 час как относящиеся к переходной зоне 7—8 (фиг. 1) при обобщении не использовались. В указанной системе была произведена обработка около 440 опытных точек, полученных



Фиг. 2

в опытах с водой, где весовая скорость изменялась от $5 \cdot 10^3$ до $30 \cdot 10^3$ кг / m^2 сек, недогрев — от 50 до 200°, давление — от 10 до 175 ата и диаметр трубы — от 1 до 5 мм.

Результаты обработки показали, что около 70% опытных точек укладываются с разбросом $\pm 20\%$ и около 86% — с разбросом $\pm 25\%$ возле обобщающей линии, которая представляет собой горизонталь с ординатой $A = 2.15$, если q'' в ккал / m^2 сек.

На фиг. 2 в качестве примера показаны результаты обработки опытных данных, полученных на трубке диаметром 2 мм при весовой скорости $20 \cdot 10^3$ кг / m^2 сек (линия 1) и весовой скорости $30 \cdot 10^3$ кг / m^2 сек, на трубках диаметром 1.0, 1.5, 2.0, 3.0, 4.0 и 5.0 мм при весовой скорости $10 \cdot 10^3$ кг / m^2 сек (линия 2). Таким образом, выражение (5) подтверждается опытными данными. Это выражение может быть интерпретировано как расширение аналогии Рейнольдса на область поверхностного кипения.

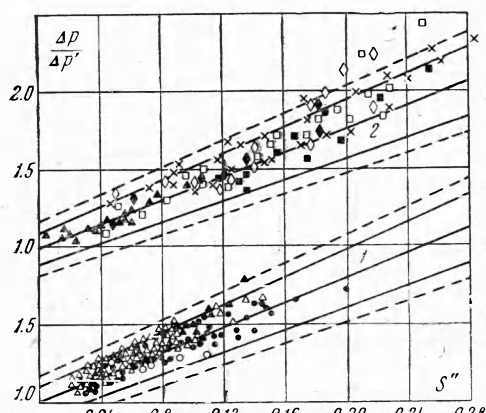
Выражение (5) может быть представлено в виде

$$\frac{\Delta p''}{\rho W^2} = A \frac{l}{d} \frac{q''}{\rho W c \Delta t}, \quad \text{или} \quad E'' = A \frac{l}{d} S'' \quad (8)$$

Здесь модификация критерия Эйлера E , а в правой — модификация критерия Сентона для области поверхностного кипения S отмечена штрихами.

Полученное выражение свидетельствует о единстве процессов переноса тепла и моллярного обмена импульсами, обусловленными процессом парообразования в пристенном слое.

Результаты по обобщению опытных данных по приросту гидравлического сопротивления в области поверхностного кипения 5–6 позволили перейти к рассмотрению вопроса обобщения опытных данных по полному гидравлическому сопротивлению Δp в этой области. Из выражения (8), подставляя значение $A = 2.15$, получаем



Фиг. 3

$$\Delta p'' = 4.3 \frac{l}{d} \frac{\rho W^2}{2} \quad (9)$$

Если рассматривать гидравлическое сопротивление в области развитого поверхностного кипения как сумму $\Delta p = \Delta p' + \Delta p''$, то относительный прирост гидравлического сопротивления, обусловленный развитием в пристенном слое процесса парообразования, равен

$$\frac{\Delta p}{\Delta p'} = 1 + \frac{\Delta p''}{\Delta p'} \quad (10)$$

Как установлено в результате дополнительной обработки опытных данных, полученных в [2], $\Delta p'$ в исследованных условиях может быть определено из выражения

$$\Delta p' = \xi_0 \frac{l}{d} \frac{\rho W^2}{2} = \xi_0 \left(\frac{\mu_+}{\mu} \right)^{0.25} \frac{l}{d} \frac{\rho W^2}{2} \quad (11)$$

Здесь μ_+ — вязкость жидкости при температуре стенки, μ — вязкость жидкости при температуре ядра потока, ξ_0 — коэффициент сопротивления при изотермическом движении, который определяется в соответствующих границах значений критерия R по формулам Блазиуса и Никурадзе.

Подставляя значения $\Delta p''$ и $\Delta p'$ в выражение (10), получим

$$\frac{\Delta p}{\Delta p'} = 1 + 4.3 \frac{S''}{\xi_0 (\mu_+/\mu)^{0.25}} \quad (12)$$

где μ_+ берется при $t_+ = t_-$.

Результаты обработки тех же опытных данных в системе координат, согласно (12), показали, что около 89% точек отклоняются от линии, выражающей уравнение (12), не более $\pm 10\%$, и около 97% — не более $\pm 15\%$.

На фиг. 3 в качестве примера показаны результаты этой обработки тех же опытных данных, что и на фиг. 2. Расположение точек и условные обозначения те же. Из этого следует, что уравнение (12) вполне удовлетворительно обобщает опытный материал, полученный в широком диапазоне изменения определяющих параметров.

Автор благодарит С. С. Кутателадзе за советы при обсуждении данной статьи.

Поступила 9.10.1964

ЛИТЕРАТУРА

- Полетавкин П. Г. Гидравлическое сопротивление при поверхностном кипении воды. Теплоэнергетика, 1959, № 12.
- Орнатский А. П., Кичгин А. М. Исследование гидравлического сопротивления при течении недогретой воды в трубке малого диаметра и больших тепловых потоках. Теплоэнергетика, 1961, № 8.
- Тарасова Н. В., Орлов В. М. Исследование гидравлического сопротивления при поверхностном кипении воды в трубе. Теплоэнергетика, 1962, № 6.
- Орнатский А. П., Глушенко Л. Ф. Исследование гидравлического сопротивления при поверхностном кипении воды в кольцевых каналах. Теплофизика высоких температур, 1963, т. 1, № 2.
- Орнатский А. П., Глушенко Л. Ф., Черибай В. А. О влиянии давления на гидравлическое сопротивление при поверхностном кипении. Теплофизика высоких температур, 1965, т. 2, № 6.
- Bischberg H., Romie F., Lipkis R., Greenfield M. Heat transfer and fluid mechanics Institute. 1951. Preprints of Papers Held at Stanford University.
- Rohsenow W. M., Clark J. A. Heat transfer and fluid mechanics Institute. 1951. Preprints of Papers Held at Stanford University.
- Трецов Г. Г. Экспериментальное исследование механизма процесса поверхностного кипения. Сб. «Теплообмен при высоких тепловых нагрузках и других специальных условиях». Госэнергоиздат, 1959.
- Saberski R., Mulligan H. Friction and Heat — Exchange Relationship in Bubble Boiling. Jet Propuls., 1955, vol. 25, No. 1.
- Адам Н. К. Физика и химия поверхности. ОГИЗ, Гостехиздат, 1947.